



BOLLETTINO FENOLOGICO PHENOLOGICAL BULLETIN

31 agosto 2017
2017 August 31

**Documento realizzato dal CREA-AA
nell'ambito del Programma
Rete Rurale Nazionale**

Piano biennale 2017-18

Autorità di gestione:
Ministero delle politiche agricole alimentari e
forestali
Ufficio DISR2

Dirigente: Paolo Ammassari

**Scheda Progetto CREA 5.3
AGROMETEORE**

Responsabile scientifico: M. Carmen Beltrano

A cura di:
Gabriele Cola, Giovanni Dal Monte, Chiara
Epifani, Luigi Mariani

Grafica di copertina: Roberta Ruberto, Mario
Cariello

IPHEN

Italian Phenological Network



BOLLETTINO FENOLOGICO

PHENOLOGICAL BULLETIN

31 agosto 2017 - 2017 August 31

Vitis vinifera L., Olea europaea L., Castanea sativa Miller

Elaborazioni eseguite su dati fenologici prodotti dalla rete di rilevatori volontari aderenti al progetto IPHEN e su dati meteo-climatologici della Banca dati agrometeorologica nazionale (BDAN) e della rete NOAA-GSOD.

The outputs hereafter presented are based on phenological data collected by the network of volunteer observers of IPHEN project and on meteo-climate data of the National Agro-Meteorological Database (BDAN) and of NOAA-GSOD network.

www.reterurale.it/fenologia

Attività finanziata nell'ambito della Rete Rurale Nazionale 2014-2020, progetto AGROMETEORE

INDICE - INDEX

ANDAMENTO METEOROLOGICO - METEOROLOGICAL OVERVIEW	4
Commento - Overview	4
FENOLOGIA - PHENOLOGICAL OVERVIEW.....	8
Vite - Grapevine.....	8
Olivo - Olive.....	10
Castagno - Chestnut	11
PROSSIMA EMISSIONE - NEXT ISSUE	14

ANDAMENTO METEOROLOGICO - METEOROLOGICAL OVERVIEW

Commento svolto su dati RAN e NOAA-GSOD per il periodo 23 - 29 agosto e su normali climatiche NOAA-GSOD 1987-2016

Meteorological overview based on RAN and NOAA-GSOD data for the period August 23 - 29 and on the climate normal 1987-2016

Commento - Overview

La topografia settimanale del livello di pressione di 850 hPa mostra l'anticiclone delle Azzorre in posizione arretrata, in pieno Atlantico, mentre sull'Italia domina un anticiclone africano, struttura meteorologica che si è riproposta con frequenza in questa estate 2017 risultando ad esempio all'origine della principale andata di caldo dell'anno, quella dell'1-6 agosto.

Dalle carte circolatorie dei singoli giorni emerge che l'anticiclone africano ha dominato per l'intero periodo venendo rafforzato da una depressione stazionaria con centro ad ovest della penisola iberica che si è presentata giovedì 24 in forma di saccatura per poi isolarsi dal flusso perturbato atlantico sabato 26 agosto.

L'effetto dell'anticiclone è stato quello di indurre condizioni di elevata stabilità con pressoché totale assenza di attività temporalesca se si escludono fenomeni locali in ambito alpino registratisi nei giorni 23 e 24 e segnalati dal sistema di monitoraggio dei fulmini di Blitzortung.org.

Le carte di anomalia mostrano temperature sensibilmente superiori alla norma nei massimi e ciò in virtù del concomitante effetto degli elevati livelli di soleggiamento, dell'avvezione di aria subtropicale continentale torrida e dell'effetto di compressione prodotto dalla massa d'aria in discesa nella troposfera. Si noti anche che grazie agli ottimi livelli dell'irraggiamento notturno l'anomalia positiva delle temperature minime è stata assai meno rilevante, dal che sono conseguiti buoni livelli di escursione termica.

Quasi del tutto assenti le precipitazioni.

I dati alla base di questo commento provengono dalla Rete Agrometeorologica Nazionale del MiPAAF (www.cra-cma.it), dalla rete NOAA - GSOD (<https://data.noaa.gov/dataset/global-surface-summary-of-the-day-gsod>), dalle carte circolatorie della statunitense National Oceanic and Atmospheric Administration - NOAA (<http://www.esrl.noaa.gov/psd/data/histdata/>) e dalla rete di monitoraggio fulmini (<http://it.blitzortung.org>).

Carte meteorologiche – Meteorological maps

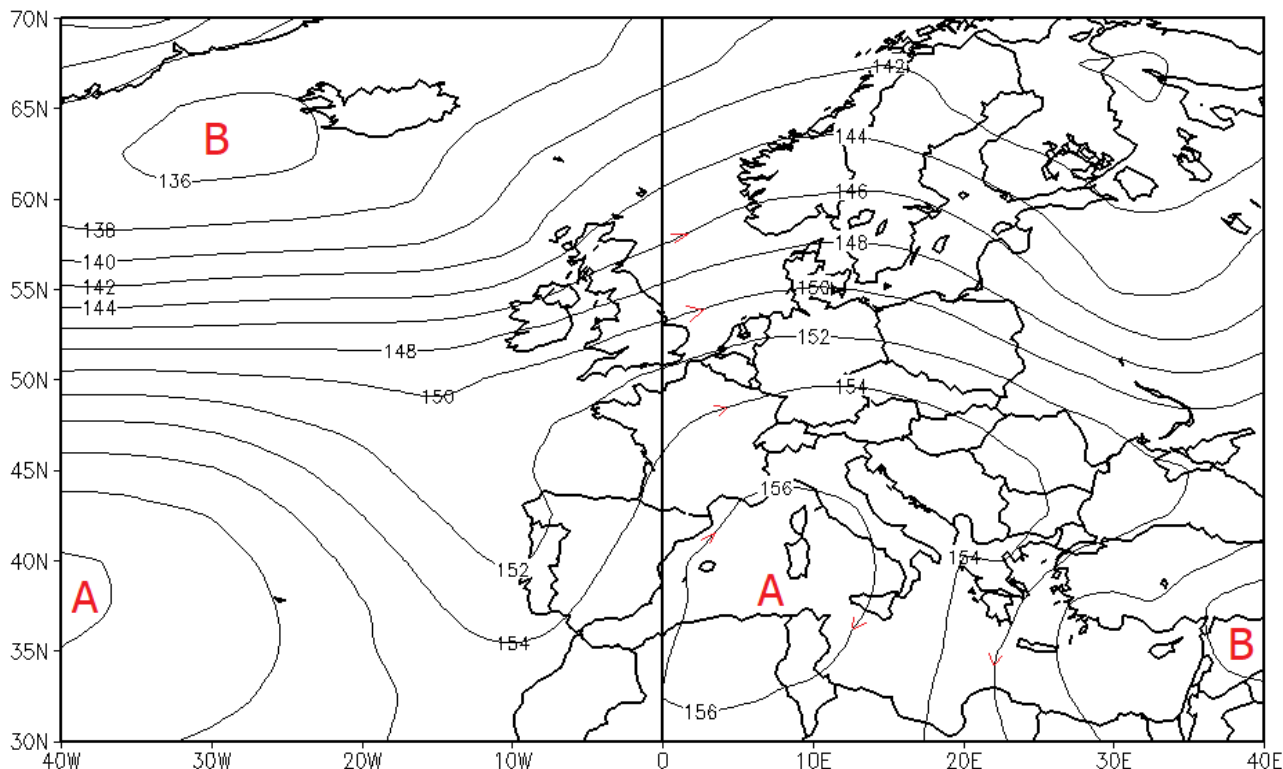


Fig. 1 - Topografia media del livello di pressione di 850 hPa (in media 1.5 km di quota) per il periodo 23 - 29 agosto. Le frecce inserite danno un'idea orientativa della direzione e del verso del flusso, di cui considerano la sola componente geostrofica. Gli assi delle saccature sono in blu e quelli dei promontori in rosso.

Mean topography of the pressure level of 850 hPa (about 1.5 km height) for the period August 23-29. The red arrows give an approximate idea of the flux direction taking into account only the geostrophic component. If present, red lines represent the axes of anti-cyclonic ridges and blue lines represent the axes of troughs.

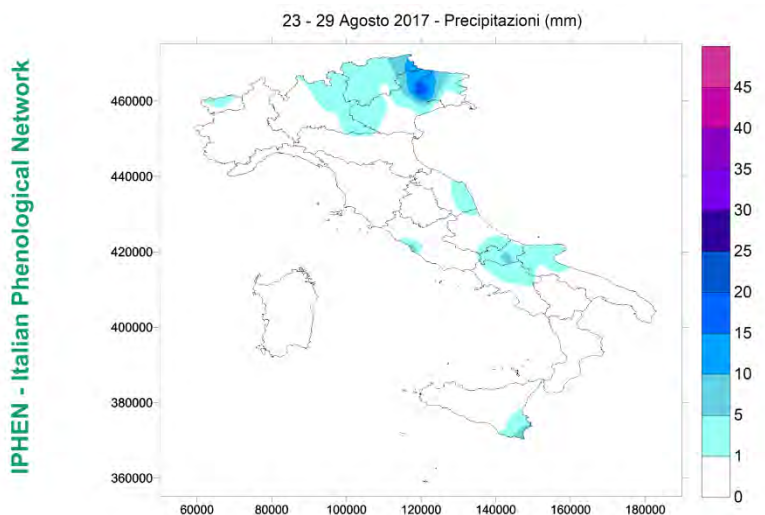


Fig. 2 - Precipitazioni cumulate nel periodo in esame. Total precipitation for the analyzed period.

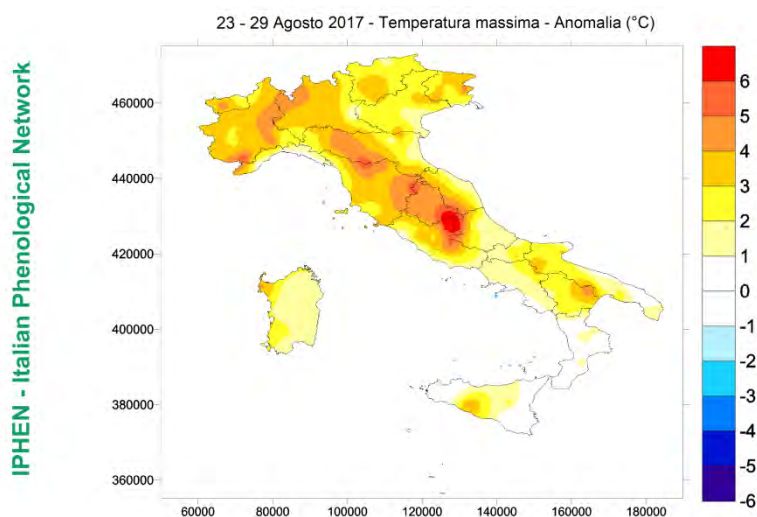


Fig. 3 - Anomalia della temperatura massima nel periodo in esame rispetto alla media 1993-2010. Anomaly of maximum temperature for the analyzed period with reference to the 1993-2010 mean values.

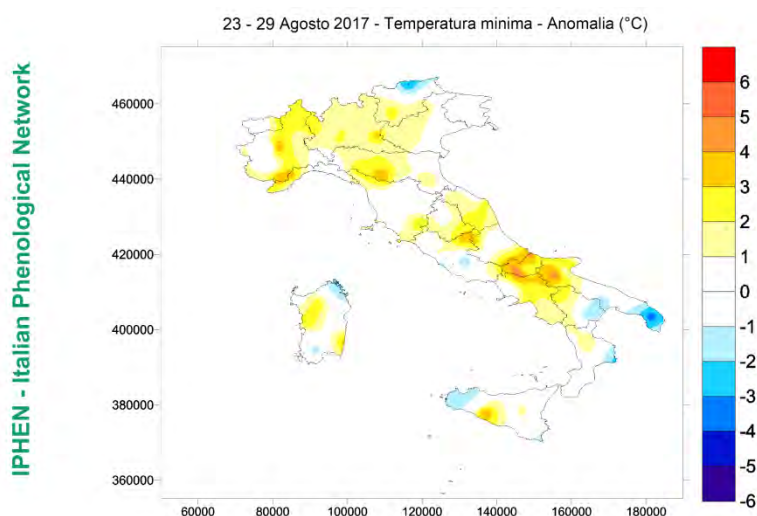


Fig.4 - Anomalia della temperatura minima nel periodo in esame rispetto alla media 1993-2010. Anomaly of minimum temperature for the analyzed period with reference to the 1993-2010 mean values

Precipitazioni - periodo 23 - 29 Agosto

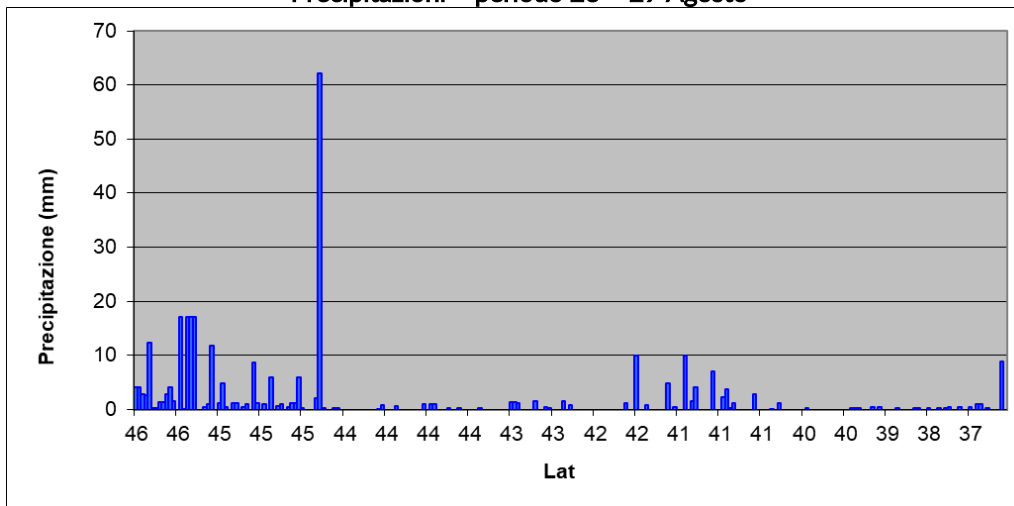


Fig. 5 - Diagramma latitudinale delle precipitazioni nel periodo in esame. Latitudinal diagram of precipitation for the analysed period

Temperature massime - anomalia periodo 23 - 29 Agosto

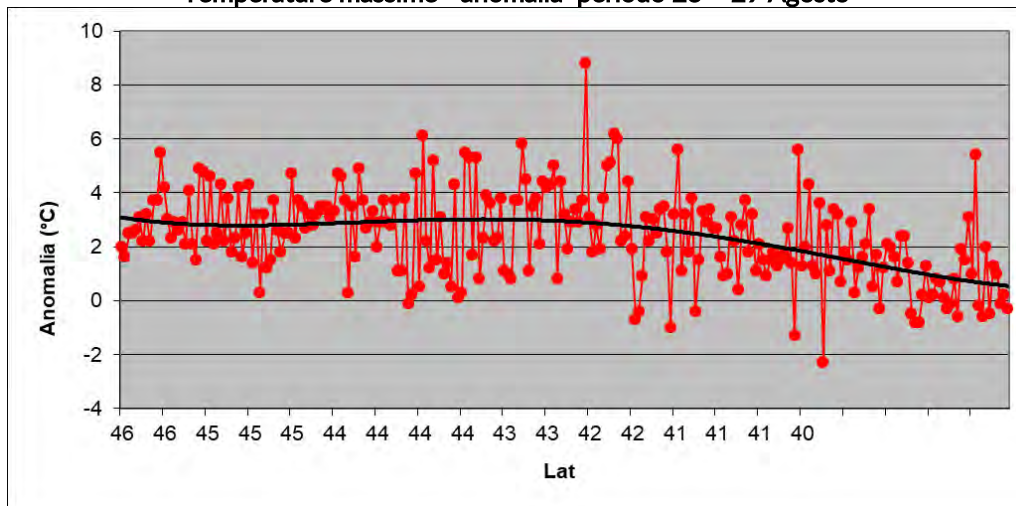


Fig. 6 - Diagramma latitudinale delle anomalie delle temperature massime nel periodo in esame. Latitudinal diagram of anomaly of maximum temperature for the analysed period

Temperature minime - anomalia periodo 23 - 29 Agosto

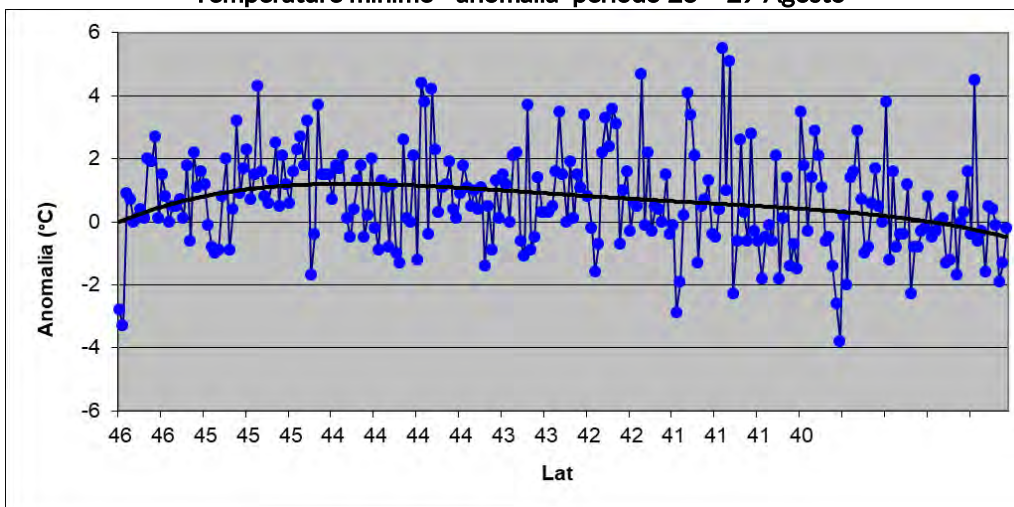


Fig. 7 - Diagramma latitudinale delle anomalie delle temperature minime nel periodo in esame. Latitudinal diagram of anomaly of minimum temperature for the analysed period

Vite - Grapevine

Con poca distanza temporale rispetto a Chardonnay, Cabernet sauvignon è oramai prossimo alla maturazione anche negli areali termicamente meno favoriti (fig 8 e 9). Questa settimana sono giunte 4 osservazioni per Cabernet sauvignon e 4 per Chardonnay (fig.10). Con questa settimana si conclude la produzione di cartografia fenologica per vite.

CARTA DI ANALISI cv Cabernet sauvignon

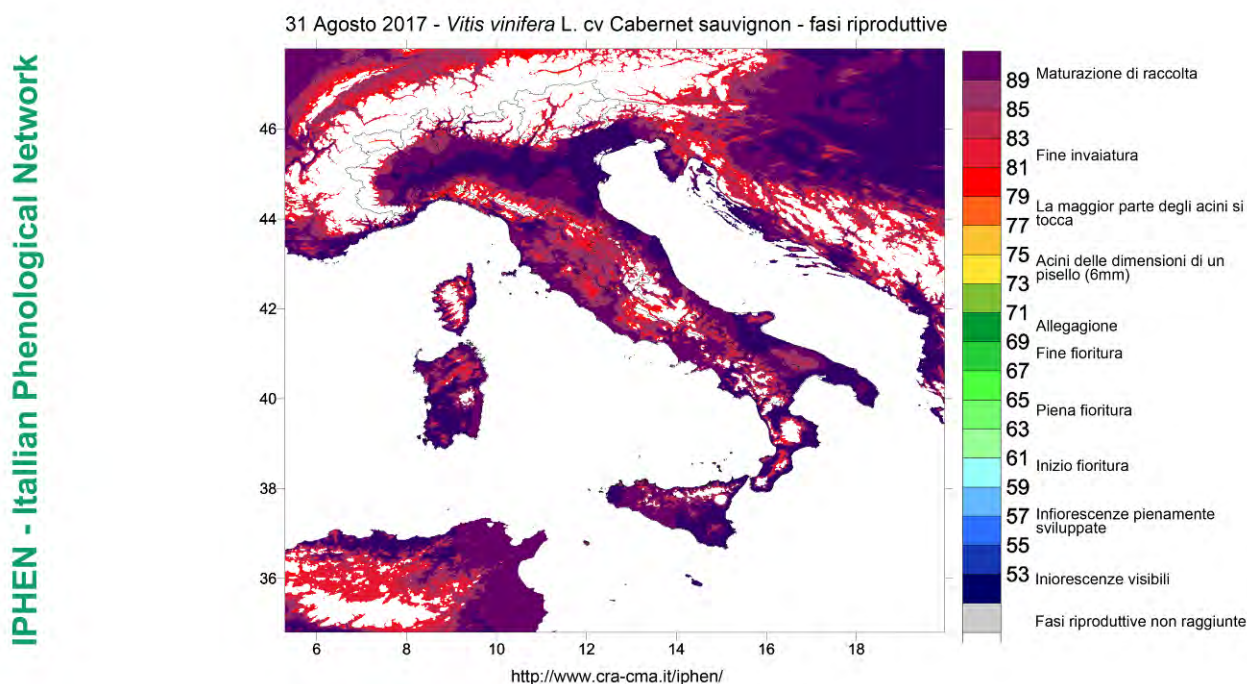


Fig. 8 - Analisi fenologica stato attuale *Vitis vinifera* cv Cabernet sauvignon - fasi riproduttive. Phenological analysis - actual development of *Vitis vinifera* cv Cabernet sauvignon - reproductive stages.

CARTA DI ANALISI cv Chardonnay

IPHEN - Italian Phenological Network

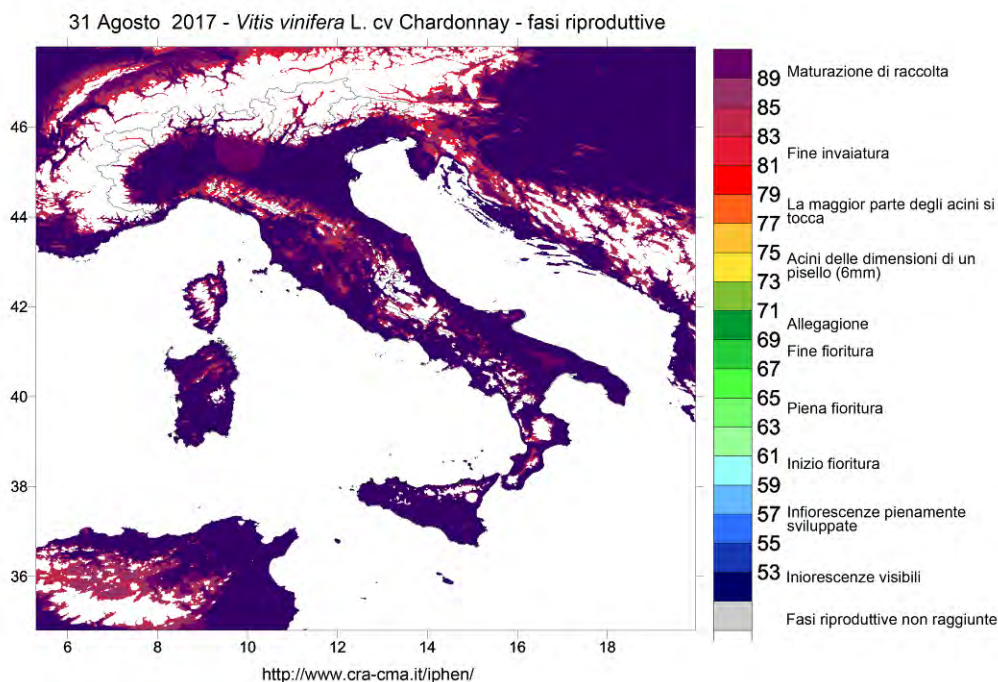


Fig. 9 - Analisi fenologica stato attuale *Vitis vinifera* cv Chardonnay - fasi riproduttive. Phenological analysis - actual development of *Vitis vinifera* cv Chardonnay - reproductive stages

PUNTI OSSERVAZIONE cv Chardonnay e Cabernet sauvignon

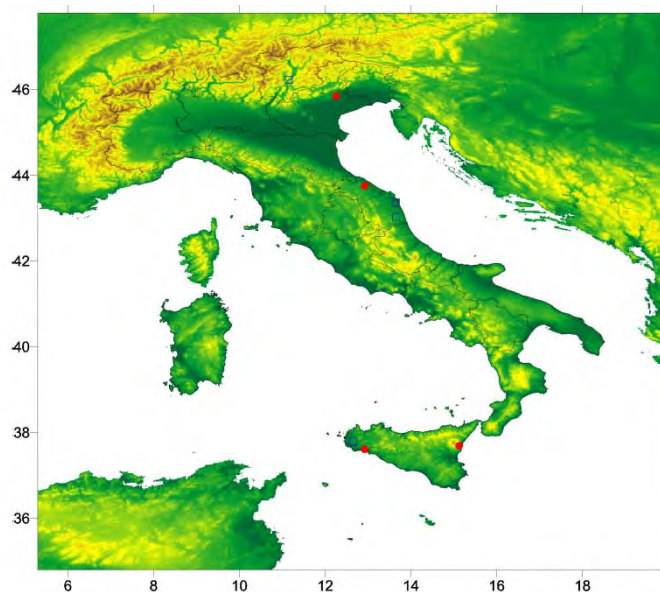


Fig. 10 - Punti di osservazione per *Vitis vinifera* L. cv Cabernet sauvignon (punti rossi) e Chardonnay (quadrati blu). Observational sites for *Vitis vinifera* L. cv Cabernet sauvignon (red dots) and Chardonnay (blue squares).

Olivo - Olive

Ormai ovunque le drupe si approssimano al raggiungimento delle dimensioni finali (fig. 11). Questa settimana sono pervenute 12 osservazioni (fig. 12).

CARTA DI ANALISI *Olea europaea*

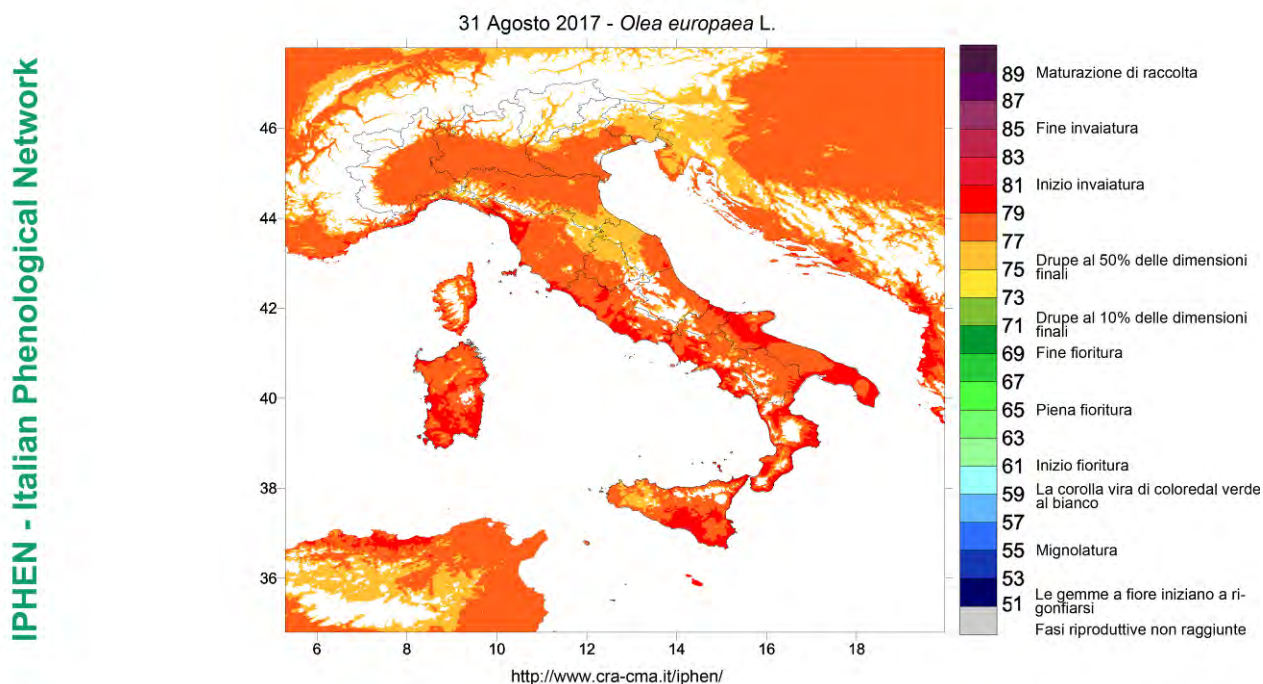


Fig. 11 - Analisi fenologica stato attuale *Olea europaea* L.. Phenological analysis - actual development of *Olea europaea* L.

PUNTI OSSERVAZIONE *Olea europaea*

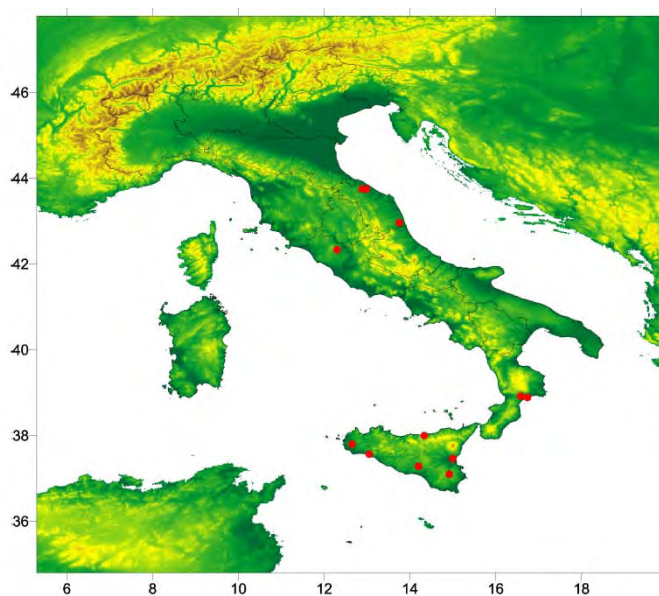


Fig. 12 - Punti di osservazione per *Olea europaea* L. (punti rossi). Observational sites for *Olea europaea* L. (red dots).

Castagno - Chestnut

Questa settimana possiamo pubblicare i dati di otto siti sul territorio (fig. 13): ringraziamo come sempre i rilevatori che partecipano all'iniziativa.

In buona parte dei i siti monitorati, lo sviluppo dei frutti è oramai giunto al termine.

Vi ricordiamo che anche i dati di questa campagna saranno utilizzati per testare il modello previsionale necessario per la produzione di carte fenologiche di analisi e previsione della fioritura specifiche per questa specie, per questo motivo, i dati raccolti vengono presentati solamente sotto forma di tabella.

DATI OSSERVATI *Castanea sativa*

31 agosto 2017					
Codice stazione¹	Altitudine²	Pendenza³	Esposizione	Cultivar (se nota)	Stadio fenologico in BBCH (mediana dei valori associati alle piante osservate)
BG01	740	media	NE	Castagna della madonna; castagno selvatico; b. de betizac	79
BG02	767	alta	SO	Ostana, Cast. Selvatico, ibrido eurogiapponese, cast. tardivo	79
BZ01	550	media	SO	-	(dato non pervenuto)
CT08	615	media	-	-	75
CZ01	900	nulla	NNO	-	77
CZ02	410	media	NNE	-	79
FI01	460	media	N	-	(dato non pervenuto)
FR02	600	nulla	SO	-	(dato non pervenuto)
NA02	470	alta	NO		(dato non pervenuto)
NA04	500	alta	NNO		Sito di monitoraggio non più attivo
NA07	385	alta	NNO		(dato non pervenuto)
RE05	850	bassa	SE	-	(dato non pervenuto)
RE06	735	media	E	-	(dato non pervenuto)
RM01	220	nulla	S	-	(dato non pervenuto)
TN01	900	media	SO	Marroni di campi	(dato non pervenuto)
TN02	650	media	E	Marroni di campi	(dato non pervenuto)
TN03	850	bassa	NE	-	81
TV01	550	media	S	-	(dato non pervenuto)

(1) acronimo con sigla della provincia seguito da un codice numerico di due cifre;

(2) metri sul livello del mare;

(3) pendenza del versante (nulla-bassa 0-10% o 0-6°; media 10-40% o 6-22°; alta >40% o >22°)

PUNTI OSSERVAZIONE *Castanea sativa*

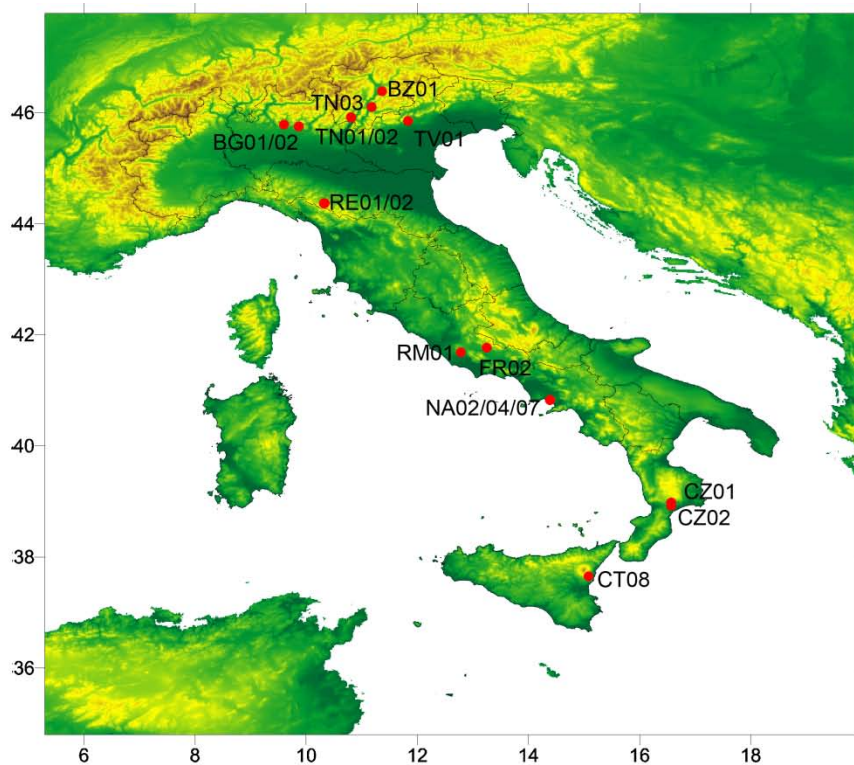


Fig. 13- Punti di osservazione per *Castanea sativa* Miller. Observational sites for *Castanea sativa* Miller.

IMMAGINI DELLE FASI FENOLOGICHE OSSERVATE *Castanea sativa*



BBCH71



BBCH71



BBCH79

Foto di: M. Bonanno (ISAFOM)

PROSSIMA EMISSIONE - NEXT ISSUE

Giovedì 7 settembre / Thursday September 7



RETE RURALE NAZIONALE

Autorità di gestione
Ministero delle politiche agricole alimentari e forestali
Via XX Settembre, 20 Roma

www.reterurale.it
reterurale@politicheagricole.it
@reterurale
www.facebook.com/reterurale